Д. т. н. В. В. Кузин (⊠), д. т. н. С. Н. Григорьев, В. Н. Ермолин

ФГБОУ ВО «Московский государственный технологический университет «Станкин», Москва, Россия

УДК 666.3:546.831-31]:544.537

ИМПУЛЬСНОЕ ЛАЗЕРНОЕ ВОЗДЕЙСТВИЕ НА ГРАФИТИЗИРОВАННУЮ ПОВЕРХНОСТЬ Y-TZP-КЕРАМИКИ

С использованием оригинальной методики изучена роль графитового слоя при импульсном лазерном воздействии на поверхность керамики на основе тетрагонального диоксида циркония, частично стабилизированного оксидом иттрия (Y-TZP-керамика). Установлено, что графитизация поверхности увеличивает долю поглощаемого лазерного излучения, в результате чего нагрев, плавление и испарение Y-TZP-керамики происходят при менее интенсивных режимах, что благоприятно влияет на использование импульсного лазерного излучения для модификации ее поверхности.

Ключевые слова: Y–TZP-керамика, графитовый слой, импульсное лазерное воздействие, поверхностный слой, морфология поверхности, шероховатость.

ВВЕДЕНИЕ

Технологические дефекты, образующиеся в поверхностном слое деталей из керамики на основе тетрагонального ZrO₂, частично стабилизированного оксидом иттрия (Y-TZP-керамика), при спекании и механической обработке, уменьшают их эксплуатационный ресурс [1–6]. Одним из методов решения этой проблемы является удаление или «залечивание» существующих дефектов [7–9]. Создание технологии, обеспечивающей достижение этих эффектов, приобретает особую актуальность в связи с широким применением Y-TZP-керамики в перспективных конструкторских разработках.

Практическая возможность изменения структуры поверхностного слоя Y-TZPкерамики с использованием лазерного излучения показана в работах [10-14]. Существенными недостатками лазерного воздействия на поверхностный слой керамики являются узкий диапазон технологических режимов, при котором достигается положительный результат, и нестабильность структурных изменений. Кроме того, эффективность процесса лазерного воздействия снижает высокая отражающая способность поверхности Y-TZP-керамики. Автор публикации [15] считает, что по этой причине коэффициент полезного действия (КПД) лазерного излучения может уменьшаться до 10 %. Устранение этих недостатков достигается использованием погло-

 \bowtie

B. B. Кузин E-mail: dr.kuzinvalery@yandex.ru щающих покрытий [16]. Эти покрытия, наносимые на поверхности деталей перед обработкой и удаляемые после нее, позволяют управлять тепловыми процессами в поверхностном слое керамики и повышать эффективность лазерного воздействия на поверхности керамики с высокой отражательной способностью [17, 18]. Однако роль поглощающих покрытий, нанесенных на поверхность Y–TZP-керамики, изучена в недостаточной степени.

В работе поставлена цель — оценить роль и эффективность применения графитового слоя в качестве поглощающего покрытия при импульсном лазерном воздействии на поверхность Y-TZP-керамики для создания технологических рекомендаций по модификации дефектного слоя.

МЕТОДИКА ЭКСПЕРИМЕНТА

В работе использовали оригинальную методику, основанную на сравнении характеристик двух видов поверхностей после импульсного лазерного воздействия. Первый вид — исходная шлифованная поверхность (ИП), второй вид — графитизированная шлифованная поверхность (ГП). Поверхности образцов Y-TZP-керамики размерами $20\times90\times3$ мм были предварительно прошлифованы на станке ОШ-440 с использованием алмазного круга $1A1B2-01\ 100\ \%$ AC6 $160/125\ и$ смазочно-охлаждающей жидкости. Режим шлифования: скорость круга $v_{\rm kp}=30\ {\rm M/c}$, продольная подача $S_{\rm по}=0.5\ {\rm M/m}$ мм, глубина шлифования $t=0.03\ {\rm M/m}$.

Под графитизированной поверхностью Y-TZP-керамики понимали графитовый слой, нанесенный распылением аэрозольного состава Graphit 33 на поверхности образцов. Выбор этого состава связан с его высокой поглощающей способностью и хорошей адгезией к Y-TZP-керамике. После нанесения графитового слоя образцы изменяли цвет с белого на матовый графитно-черный (соответствует RAL 9011). После лазерной обработки остатки графитового слоя удаляли моющим средством PL301; после этого образцы промывали в ультразвуковой установке Powersonic.

На поверхности образцов обрабатывали участки размерами 4×4 мм с использованием импульсного лазера U-15. Подробно техника выполнения этой части эксперимента изложена в статье [11]. Параметры режима импульсной лазерной обработки: мощность лазерного импульса P 1–15 Вт, относительная скорость растрового сканирования v 25–200 %, шаг перемещения лазерного луча по осям x (s_x) и y (s_y) $s_x = s_y$ 10–60 мкм. Частоту следования импульсов f (30 кГц), число импульсов в пачке $n_{\rm H}$ (1 имп) и число проходов в цикле обработки N (1 проход) в экспериментах не изменяли. Диаметр пятна от лазерного луча на обрабатываемой поверхности составлял 40 мкм.

Шероховатость *Ra* поверхности обработанных участков измеряли по двум осям (*x* и *y*) с использованием профилографа-профилометра Hommelwerke, оснащенного щупом TKU 300/600 чувствительностью 40 нм. Морфологию поверх-

ности исследовали с использованием прибора MikroCAD premium (построение 3D-модели поверхности), оптического микроскопа Olympus BX51M и сканирующего электронного микроскопа Tescan Vega 3LMH. Прочность адгезии графитового слоя с Y-TZP-керамикой определяли с использованием микротвердомера ПМТ-3.

РЕЗУЛЬТАТЫ И ИХ ОБСУЖДЕНИЕ

Установлено, что высокоплотная и мелкозернистая структура Y-TZP-керамики (рис. 1, a), сформированная зернами тетрагональной фазы размерами 0,5-1,0 мкм, трансформируется при шлифовании в поверхностный дефектный слой. Например, поверхность образцов, прошлифованных при указанном режиме, покрыта гладким пластически деформированным слоем толщиной до 0,5 мкм (рис. 1, б). В этом слое зерна имеют вытянутую форму, ориентированную к обработанной поверхности. Под действием нагрузок, генерируемых процессом шлифования, между поверхностным слоем и исходной керамикой образуется модифицированный слой толщиной до 2 мкм. Структуру этого слоя формируют зерна, размер которых меньше размера зерен исходной керамики. На границах этих слоев имеются разнонаправленные трещины, которые в начальный момент эксплуатации на-

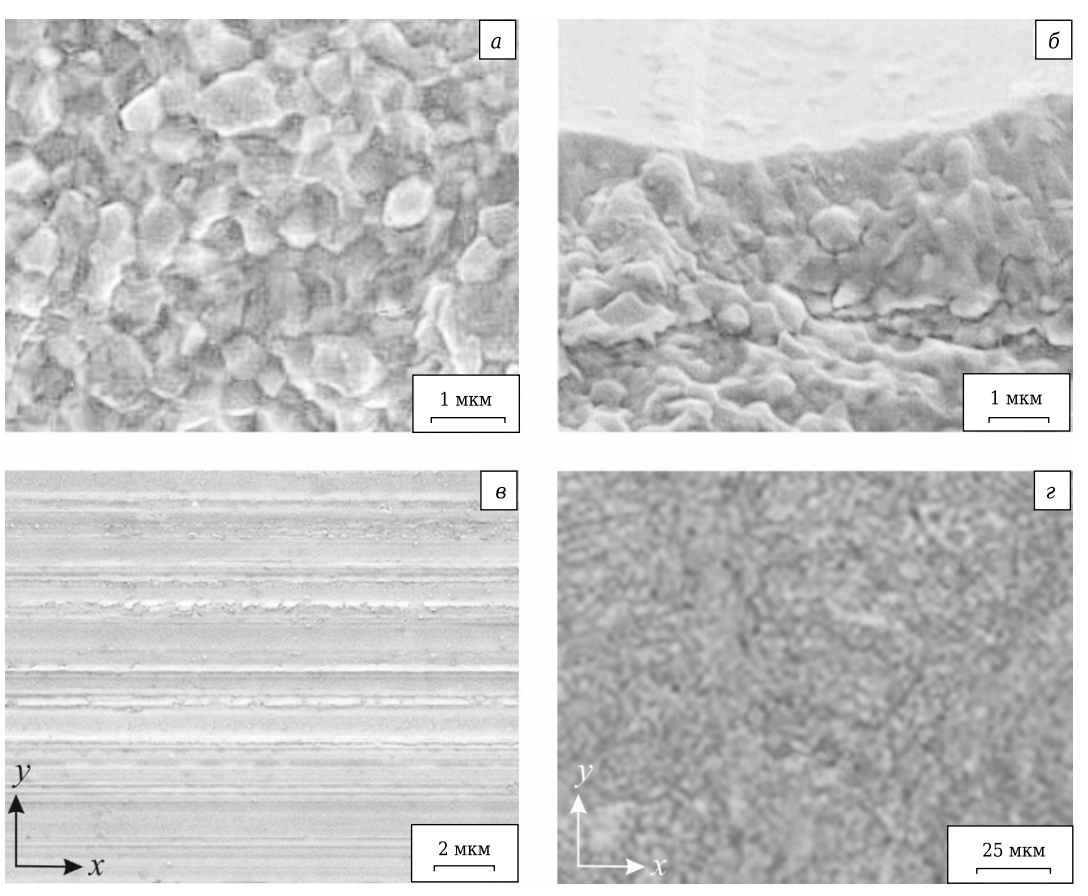


Рис. 1. Структура спеченной Y–TZP-керамики (a) и поверхностного слоя образца после шлифования (б), морфология шлифованной поверхности (в) и поверхности графитового слоя (г)

чинают интенсивный рост, приводящий к локальным разрушениям поверхностного слоя керамических деталей на этапе приработки.

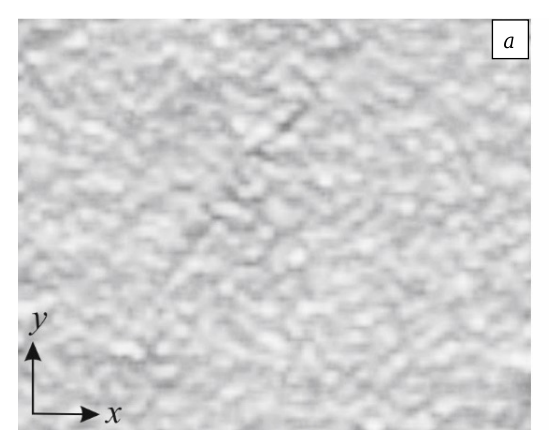
Поверхность образцов после шлифования имеет направленный морфологический рисунок, сформированный совокупностью продольных впадин и выступов, являющихся результатом перемещения отдельных алмазных зерен по поверхности керамики. На этой поверхности имеются «чешуйчатые» наплывы и немногочисленные разнонаправленные мелкие трещины длиной до 15 мкм. Шероховатость поверхности образцов, прошлифованных при установленном режиме, составляет $Ra_x = 0,3$ мкм и $Ra_y = 0,5$ мкм по осям х и у соответственно.

Для обеспечения высокого качества деталей из Y-TZP-керамики дефектный слой общей толшиной 2.5-3.0 мкм. сформировавшийся при шлифовании, необходимо удалить с использованием лазерного излучения, а затем сформировать на поверхности керамики «новую благоприятную» структуру. Следует отметить, что на толщину дефектного слоя существенно влияют режимы шлифования, причем их интенсификация приводит к увеличению толщины этого слоя. Основные закономерности этого влияния проанализированы в статье [4]. Графитовый слой толщиной 15-20 мкм, имеющий шагреневый морфологический рисунок, полностью «покрывал» шлифованные поверхности образцов (рис. 1, г). Этот слой имел достаточно прочное сцепление с керамикой; при царапании алмазным индентором графит отделялся в виде стружки и отдельных фрагментов размерами до 15 мкм. Под действием лазерного луча графитовый слой выгорал с образованием «нагара» или полностью испарялся.

Установлено существенное влияние графитового слоя на морфологию и шероховатость поверхности образцов Y-TZP-керамики после импульсного лазерного воздействия. Для удобства обсуждения результатов воспользуемся двумя условными понятиями: «низкоинтенсивный режим», для которого характерен только нагрев

поверхности Y-TZP-керамики до температуры, не превышающей температуру ее плавления, и «высокоинтенсивный режим», при котором происходит испарение керамики. Степень влияния графитового слоя на морфологию ИП и ГП Y-TZP-керамики, обработанной при низкоинтенсивном режиме (P = 5 Вт, v = 100 %, $s_x = s_y = 40$ мкм), показана на рис. 2. На 3D-моделях ИП и ГП видно, что эти поверхности имеют одинаковый шагреневый морфологический рисунок, но при этом ГП имеет значительно большую высоту выступов, чем ИП. На ИП просматриваются следы продольных впадин, характерных для шлифованной поверхности, а на ГП их не обнаружено. Шагреневый рисунок на ГП имеет определенную волнообразность, свидетельствующую о пластическом течении керамики под действием мошного теплового источника, а также капли расплавленной керамики и кратеры. Формирование морфологического рисунка на ГП, аналогичного рисунку на ИП, происходит при менее интенсивных режимах лазерного излучения. Другим отличительным признаком состояния ИП и ГП является их цвет после импульсной лазерной обработки: цвет ИП — светло-желтый с темными «жжеными» вкраплениями, цвет ГП – светло-коричневый без вкраплений, свидетельствующий о диффузии графита в керамику.

Профилограммы ИП и ГП, обработанных при высокоинтенсивном режиме (P=12 Вт, v=100 %, $s_x=s_y=40$ мкм), показаны на рис. 3. Видно, что в обоих случаях происходило интенсивное испарение керамики, причем присутствие графитового слоя стимулировало этот процесс. Глубина участка ГП практически в 2 раза больше, чем участка ИП, а разница в морфологии ИП и ГП практически отсутствует. В обоих случаях морфология обработанной поверхности Y-TZP-керамики характеризуется многочисленными кратерами, каплями расплавленной керамики и разнонаправленными трещинами. Роль графитового слоя при обработке поверхности Y-TZP-керамики при высокоинтенсивном режиме



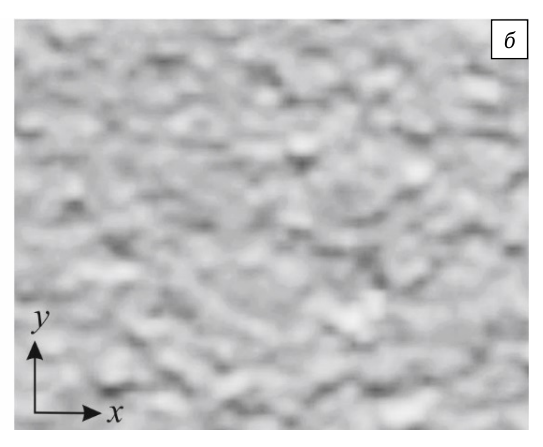
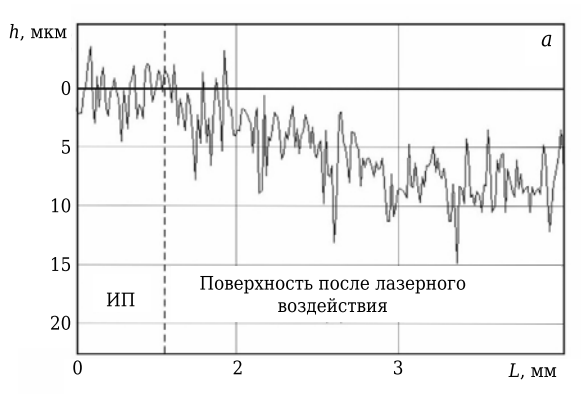


Рис. 2. 3D-модели ИП (*a*) и ГП (*б*) Y-TZP-керамики после импульсного лазерного воздействия с P=5 Вт, $\nu=100$ %, $s_{\rm x}=s_{\rm y}=40$ мкм



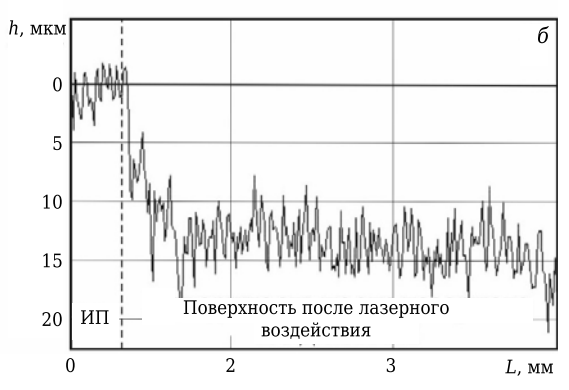


Рис. 3. Профилограммы ИП (*a*) и ГП (*б*) Y–TZP-керамики после импульсного лазерного воздействия с P=12 Вт, $\nu=100~\%$, $s_{\rm x}=s_{\rm y}=40$ мкм: h — глубина обработанного участка; L — расстояние

сводится к значительному увеличению объема «испаренной» керамики. Испарение керамики с ГП объемом, аналогичным испаренному объему с ИП, происходит при менее интенсивных режимах.

Результаты исследования влияния мощности лазерного импульса Р на Ra ИП и ГП Y-TZP-керамики показаны на рис. 4. Видно, что значения Ra ИП и ГП выше Ra шлифованной поверхности керамики при всех значениях Р. С увеличением P от 2 до 15 Вт значения Ra ИП и ГП уменьшаются в среднем на 30-35 %, причем Ra ГП в этом диапазоне значительно выше, чем Ra ИП. Наименьшие значения Ra для ИП и ГП зафиксировали при обработке с P = 15 Вт, наибольшие — при обработке с P = 2 Вт. После импульсной лазерной обработки с P = 2 Вт шероховатость по оси х Ra_x ИП составляет 0,69 мкм, а Ra_{x} ГП 1,06 мкм, после обработки с $P=15~{\rm BT}$ — соответственно 0,51 и 0,74 мкм (см. рис. 4, а). Шероховатость по оси у Ra_{ν} после импульсной лазерной обработки с P = 2 Вт ИП характеризуется значением 0.76 мкм. ГП — значением 1.12 мкм, после обработки с P = 15 Вт — соответственно 0,58 и 0,89 мкм (см. рис. 4, б).

Результаты исследования влияния относительной скорости ν растрового сканирования на Ra ИП и ГП Y-TZP-керамики показаны на рис. 5.

С увеличением v значения Ra увеличиваются. Наименьшие значения Ra зафиксированы после лазерной обработки ИП с v=25 %, наибольшие — после обработки ГП с v=200 %. После обработки с v=25 % ИП характеризуется Ra_x 0,47 мкм, а ГП — Ra_x 0,63 мкм, после обработки с v=200 % — соответственно 0,74 и 0,88 мкм (см. рис. 5, a). После обработки с v=25 % Ra_y ИП характеризуется значением 0,51 мкм, а ГП — значением 0,74 мкм, после обработки с v=200 % — соответственно 0,79 и 0,96 мкм (см. рис. 5, δ).

Влияние шага перемещения лазерного луча s_x (s_y) на Ra ИП и ГП Y-TZP-керамики показано на рис. 6. Установлено, что увеличение s_x (s_y) в диапазоне от 10 до 60 мкм приводит к уменьшению Ra поверхности. После импульсной лазерной обработки с $s_x = s_y = 10$ мкм Ra_x ИП характеризуется значением 0,91 мкм, а ГП — значением 0,84 мкм, после обработки с $s_x = s_y = 60$ мкм — соответственно 0,4 и 0,58 мкм (см. рис. 6, a). После импульсной лазерной обработки с $s_x = s_y = 10$ мкм $s_x = s_y = 10$ мкм — соответственно 0,51 и 0,63 мкм (см. рис. 6, $s_x = s_y = 10$).

Столь существенное влияние s_x (s_y) на значения Ra связано с эффектом взаимного перекрытия пятен лазерного луча. Например, при

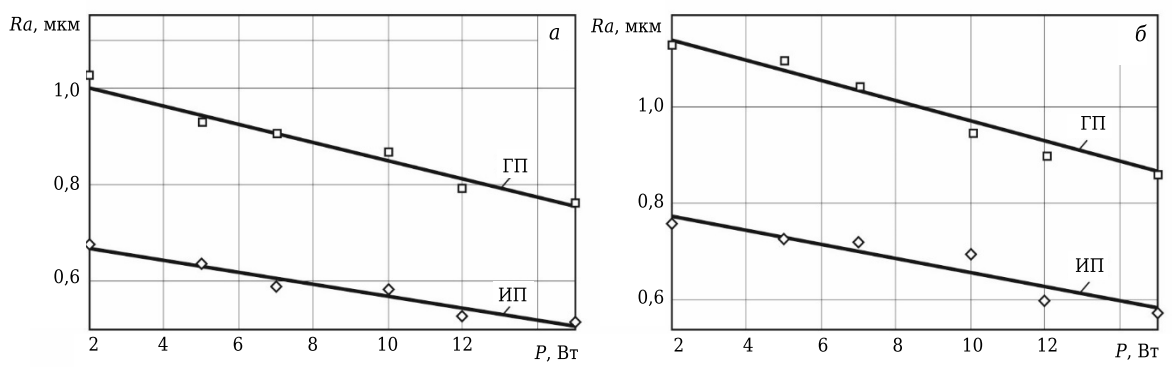


Рис. 4. Влияние P на Ra ИП и ГП вдоль осей x (a) и y (b) при v = 100 % и $s_x = s_y = 40$ мкм

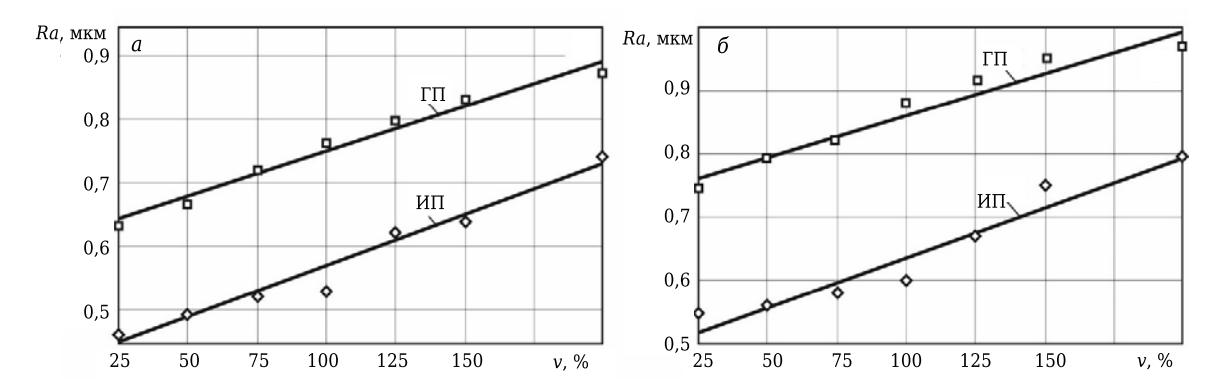


Рис. 5. Влияние v растрового сканирования на Ra ИП и ГП вдоль осей x (a) и y (b) при P=12 Вт и $s_x=s_y=40$ мкм

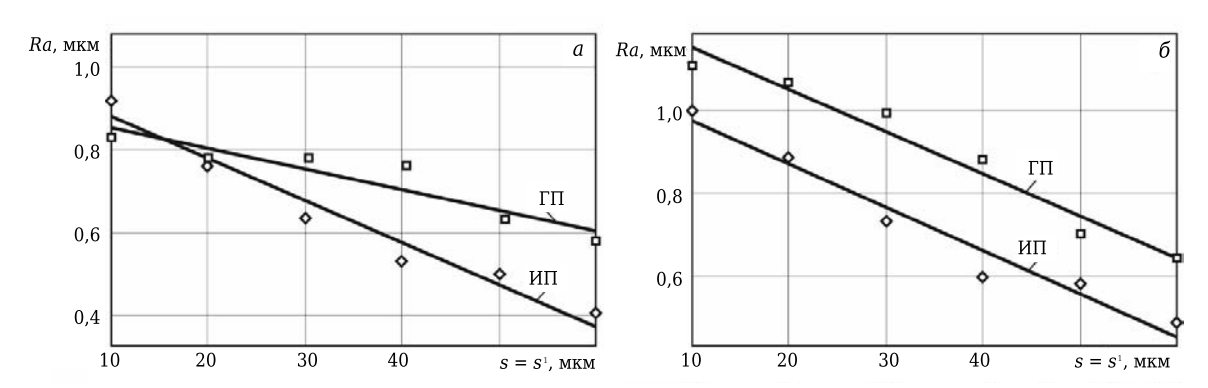


Рис. 6. Влияние шага перемещения лазерного луча на Ra ИП и ГП вдоль осей x (a) и y (b) при P=12 Вт и v=100 %

 $s_x = s_y < 40$ мкм происходит взаимное перекрытие пятен лазерного луча и, соответственно, локальные площадки на поверхности керамики в наибольшей степени подвергаются тепловому воздействию. При $s_x = s_y \ge 40$ мкм взаимное перекрытие пятен лазерного луча отсутствует и появляются локальные площадки на поверхности керамики, на которые не действовал тепловой поток.

ЗАКЛЮЧЕНИЕ

С использованием оригинальной методики изучена роль графитового слоя, используемого в качестве поглощающего покрытия, при импульсном лазерном воздействии на поверхность Y—TZP-керамики. Установлено, что графитовый слой существенно увеличивает долю поглощаемого лазерного излучения и, соответственно, тепловой поток, поступающий в керамику. В результате этого физического феномена нагрев, плавление и испарение Y—TZP-керамики происходят на менее интенсивных режимах.

Наличие графитового слоя поверхности Y-TZP-керамики принципиально не изменяет морфологический рисунок обработанных поверхностей и характер зависимостей значений Ra от технологического режима. Установлено, что с увеличением P в диапазоне от 2 до 15 Вт

и v в диапазоне от 25 до 200 % значения Ra ИП и ГП увеличиваются в среднем на 30–35 % по двум осям, причем Ra ГП значительно выше, чем Ra ИП. Увеличение шага перемещения лазерного луча по двум координатным направлениям s_x (s_y) в диапазоне от 10 до 60 мкм приводит к уменьшению значений Ra, что связано с эффектом перекрытия пятен от лазерного луча. Наибольшее влияние на морфологию и шероховатость обработанной поверхности оказывают мощность лазерного импульса и шаг перемещения лазерного луча по координатным осям.

Графитизация поверхности Y-TZP-керамики благоприятно влияет на использование импульсного лазерного излучения для испарения дефектного слоя и формирования «новой благоприятной» структуры. Эта структурная модификация может быть реализована более эффективно за счет выбора состава поглощающего покрытия. Графитовый слой позволяет также значительно увеличить КПД импульсного лазерного излучения и сократить в 2–3 раза время обработки деталей из Y-TZP-керамики с большими рабочими площадями.

* * *

Работа проведена при финансовой поддержке Министерства образования и науки РФ в рамках выполнения государственного задания в сфере научной деятельности, проект № 9.1372.2017/4.6.

Библиографический список

- 1. **Basu, Bikramjit.** Microstructure-toughness-wear relationship of tetragonal zirconia ceramics / *Bikramjit Basu, Jozef Vleugels, Omer Van Der Biest // J. Eur. Ceram.* Soc. 2004. Vol. 24. P. 2031–2040.
- 2. **Pereira**, **G. K. R.** The effect of grinding on the mechanical behavior of Y-TZP ceramics: A systematic review and meta-analyses / G. K. R. Pereira, S. Fraga, A. F. Montagnera // Journal of the Mechanical Behavior of Biomedical Materials. 2016. Vol. 63. P. 417–442.
- 3. **Dantas, T. A.** Wear behaviour of tetragonal zirconia polycrystal with a porous surface / T. A. Dantas, S. Roedel, P. Flores [et al.] // Int. J. Refract. Met. Hard Mater. 2018. Vol. 75. P. 85–93.
- 4. **Кузин, В. В.** Взаимосвязь режимов алмазного шлифования с состоянием поверхности керамики на основе диоксида циркония / В. В. Кузин, С. Ю. Фёдоров, С. Н. Григорьев // Новые огнеупоры. 2016. № 11. С. 60–65.
- **Kuzin, V. V.** Correlation of diamond grinding regime with surface condition of ceramic based on zirconium dioxide / V. V. Kuzin, S. Yu. Fedorov, S. N. Grigor'ev // Refract. Ind. Ceram. 2017. Vol. 57, N 6. P. 625–630.
- 5. **Кузин, В. В.** Уровень дефектности кромок образцов Y-TZP-керамики после алмазного шлифования / В. В. Кузин, С. Ю. Фёдоров, С. Н. Григорьев // Новые огнеупоры. 2017. № 7. С. 63–65.
- **Kuzin, V. V.** Level of Y-TZP-ceramic specimen edge defects after diamond machining / V. V. Kuzin, S. Yu. Fedorov, S. N. Grigor'ev // Refract. Ind. Ceram. 2017. Vol. 58, N 4. P. 415–417.
- 6. *Harrer, Walter.* Failure analysis of a ceramic ball race bearing made of Y–TZP zirconia / *Walter Harrer, Marco Deluca, Roger Morrell* // Engineering Failure Analysis. 2014. Vol. 36. P. 262–268.
- 7. **Tönshoff, H. K.** Surface Modification of Ceramics by Laser Machining / H. K. Tönshoff, H. Kappel // CIRP Annals. 1998. Vol. 47. P. 471–474.
- 8. **Bose, Susmita.** Surface modification of biomaterials and biomedical devices using additive manufacturing / Susmita Bose, Samuel Ford Robertson, Amit Bandyopadhyay // Acta Biomaterialia. 2018. Vol. 66. P. 6–22.
- 9. *Tshabalala, Lerato Criscelda*. Surface texturing of Si₃N₄–SiC ceramic tool components by pulsed laser machining / *Lerato Criscelda Tshabalala, Sisa Pityana //* Surface and Coatings Technology. 2016. Vol. 289. P. 52–60.

- 10. **Moura**, **C. G.** Effect of laser surface texturing on primary stability and surface properties of zirconia implants / C. G. Moura, R. Pereira, M. Buciumeanu [et al.] // Ceram. Int. 2017. Vol. 43. P. 15227–15236.
- 11. *Kuzin, V.* Surface modification of zirconia (Y-TZP) ceramics induced by pulsed laser machining / *V. Kuzin, S. Grigoriev, M. Fedorov* [et al.] // Applied Mechanics and Materials. 2015. Vols. 752–753. P. 481–484.
- 12. **Roitero, E.** Nanosecond-laser patterning of 3Y-TZP: Damage and microstructural changes / E. Roitero, F. Lasserre, J. J. Roa [et al.] // J. Eur. Ceram. Soc. 2017. Vol. 37. P. 4876–4887.
- 13. **Кузин, В. В.** Модификация поверхностного слоя оксидной керамики с использованием непрерывного лазерного излучения / В. В. Кузин // Новые огнеупоры. 2016. № 1. С. 51–55.
- **Kuzin, V. V.** Oxide ceramic surface layer modification using continuous laser radiation / V. V. Kuzin // Refract. Ind. Ceram. 2016. Vol. 57, N 1. P. 53–57.
- 14. **Roitero, Erica.** A parametric study of laser interference surface patterning of dental zirconia: Effects of laser parameters on topography and surface quality / *Erica Roitero, Federico Lasserre, Marc Anglada* [et al.] // Dental Materials. 2017. Vol. 33. P. e28–e38.
- 15. **Васильев, С. В.** Влияние неразрушающего воздействия лазерного излучения на состав и физикохимические свойства приповерхностного слоя металла / С. В. Васильев, А. Ю. Иванов, В. И. Недолгов // Вестн. Гродн. гос. ун-та им. Янки Купалы. Сер. 2. Математика. Физика. Информатика, вычислительная техника и управление. 2001. С. 78–80.
- 16. Лазерные технологии обработки материалов: современные проблемы фундаментальных исследований и прикладных разработок; под ред. В. Я. Панченко. М.: Физматлит, 2009. 664 с.
- 17. **Kuzin**, **V.** Effect of thermal loading on stresses in defective surface layer of ceramics / V. Kuzin, S. Grigoriev, M. Portnoy // Applied Mechanics and Materials. 2016. Vol. 827. P. 189–192.
- 18. **Кузин, В. В.** Неоднородность напряжений в поверхностном слое керамики под действием внешней нагрузки. Часть 2. Влияние теплового нагружения / В. В. Кузин, С. Н. Григорьев, В. Н. Ермолин // Новые огнеупоры. 2013. № 12. С. 35–39.
- **Kuzin, V. V.** Stress inhomogeneity in a ceramic surface layer under action of an external load. Part 2. Effect of thermal loading / V. V. Kuzin, S. N. Grigor'ev, V. N. Ermolin // Refract. Ind. Ceram. 2014. Vol. 54, № 6. P. 497–501. ■

Получено 25.02.19 © В. В. Кузин, С. Н. Григорьев, В. Н. Ермолин, 2019 г.

НАУЧНО-ТЕХНИЧЕСКАЯ ИНФОРМАЦИЯ



№ 3 2019 **Hobbie Ofheytopbi** ISSN 1683-4518 **63**